

การรายงานภาคเทgesดำเนินการที่เหมาะสมของตัวเก็บประจุต่องานนstanปีsonแบบเรเดิม
ของระบบจำหน่าย

นาย วิชากา พงศ์รัชช



สถาบันวิทยบริการ
จุฬาลงกรณ์มหาวิทยาลัย
วิทยานิพนธ์นี้เป็นส่วนหนึ่งของการศึกษาตามหลักสูตรปริญญาวิศวกรรมศาสตรมหาบัณฑิต
สาขาวิศวกรรมไฟฟ้า ภาควิชาวิศวกรรมไฟฟ้า
นับพิทวิทยาลัย จุฬาลงกรณ์มหาวิทยาลัย
ปีการศึกษา 2541
ISBN 974-639-636-6
ลิขสิทธิ์ของบัณฑิตวิทยาลัย จุฬาลงกรณ์มหาวิทยาลัย

**OPTIMAL SHUNT CAPACITOR SIZING AND LOCATION ON THE RADIAL
DISTRIBUTION SYSTEM**

Mr. Vichchakorn Hengsritawat

สถาบันวิทยบริการ
จุฬาลงกรณ์มหาวิทยาลัย

A Thesis Submitted in Partial Fulfillment of the Requirements

for the Degree of Master of Engineering in Electrical Engineering

Department of Electrical Engineering

Graduate School

Chulalongkorn University

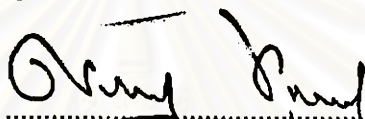
Academic Year 1998

ISBN 974-639-636-6

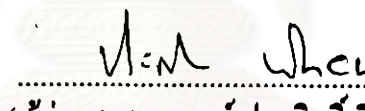
หัวข้อวิทยานิพนธ์ การรายงานด้วยแบบฟอร์มที่เหมาะสมของตัวเก็บประชามติที่ออกแบบมาเพื่อให้การดำเนินการง่ายและรวดเร็ว

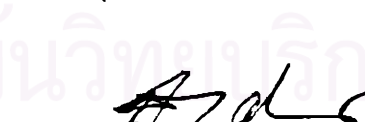
โดย นาย วิชชาร์ แสงศรีวัช
ภาควิชา วิศวกรรมไฟฟ้า
อาจารย์ที่ปรึกษา อาจารย์ ไชยะ แซ่นซ้อบ

บันทึกวิทยาลัย จุฬาลงกรณ์มหาวิทยาลัย อนุมัติให้นับวิทยานิพนธ์ฉบับนี้เป็นส่วนหนึ่ง
ของการศึกษาตามหลักสูตรปริญญาบัณฑิต

 คณบดีบันทึกวิทยาลัย
(ศาสตราจารย์ ดร. พงษ์ศักดิ์ ศรีวัฒน์ ชิตวงศ์)

คณะกรรมการสอบวิทยานิพนธ์

 ประธานกรรมการ
(ผู้ช่วยศาสตราจารย์ ประเสริฐ พิทักษ์พัฒน์)
 อาจารย์ที่ปรึกษา
(อาจารย์ ไชยะ แซ่นซ้อบ)

 กรรมการ
(ผู้ช่วยศาสตราจารย์ ดร. นันทิด อึ้งอกรณ์)

วิชาการ เทงศรีวัช : การหาขนาดและตำแหน่งที่เหมาะสมของตัวเก็บประจุต่อขานานบนสาย
ป้อนแนวเรเดียลของระบบจาน่าย (OPTIMAL SHUNT CAPACITOR SIZING AND
LOCATION ON THE RADIAL DISTRIBUTION SYSTEM) อ.ที่ปรึกษา : อ. ไชย แฉนชัย,
124 หน้า 1. ISBN 974-639-636-6

วิทยานิพนธ์ฉบับนี้เนื้อหาแบ่งออกเป็นสองส่วนคือกันกันส่วนที่ 1 ในส่วนแรกเป็นการนำเสนอ
วิธีการแก้ปัญหาการคิดตั้งที่เหมาะสมของตัวเก็บประจุต่อขานานบนสายป้อนแนวเรเดียลของระบบจาน่าย
โดยพิจารณาเงื่อนไขในการรักษาคันเร่งดันของระบบให้อยู่ในขอบเขตที่กำหนด และลดกำลังงานสูญเสีย
จริงในแต่ละระดับโหลด ทั้งนี้คำนึงถึงราคาของตัวเก็บประจุและราคาพลังงานสูญเสียของระบบให้มีค่าต่ำสุด
วิธีการแก้ปัญหาใช้หลักการวิเคราะห์แบบเชิงซิติวิตี้ (Sensitivity Analysis) เพื่อเลือกตำแหน่งที่เหมาะสมให้รับ¹
การคิดตั้งตัวเก็บประจุต่อขานาน โดยพิจารณาจากค่าเชิงซิติวิตี้แฟกเตอร์ (Sensitivity Factor) ซึ่งเป็นการช่วยลด
ข้อผิดพลาดเวลาในการคำนวณ

ส่วนที่สอง เป็นการศึกษาผลกระทบของชาร์มอนิก จากการใช้โหลดไม่เป็นเรียงเส้นใน
ระบบจาน่าย ทำให้เกิดกระแสชาร์มอนิกซึ่งอาจมีค่าสูงผิดปกติในส่วนที่ตัวเก็บประจุ เป็นผลให้ตัวเก็บ
ประจุเกิดความเสียหายได้ การประเมินความเสียหายทำโดยการเปรียบเทียบค่าพิเศษของตัวเก็บประจุที่คำนวณ
ได้กับค่าที่กำหนดตามมาตรฐาน ANSI/IEEE 18-1992 และ IEC 60871-1(1997-10) การวิเคราะห์ใช้แบบ
จำลองของสายป้อนและอุปกรณ์ไฟฟ้าต่างๆ ที่มีอยู่ในระบบตามแบบจำลองของ CIGRE

ระบบจานองที่พัฒนาขึ้น ยังสามารถใช้วิเคราะห์หาค่าความผิดเพี้ยนทางชาร์มอนิกรวมของวง
ดัน (THD_v) ที่บันส์ต่าง ๆ รวมถึงค่าความผิดเพี้ยนทางชาร์มอนิกรวมของกระแส (THD_i) ของตัวเก็บประจุได้ด้วย
ทำให้สามารถวิเคราะห์สมรรถนะของระบบจาน่ายในเรื่องของชาร์มอนิก ซึ่งนับว่าเป็นประโยชน์ต่อการวางแผน
แผนและปรับปรุงคุณภาพของระบบจาน่ายให้ดีขึ้นได้

3971669221 : MAJOR ELECTRICAL ENGINEERING

KEY WORD: OPTIMAL SHUNT CAPACITOR PLACEMENT / SENSITIVITY ANALYSIS

VICHACHAKORN HENGSRITAWAT : OPTIMAL SHUNT CAPACITOR SIZING AND LOCATION ON THE RADIAL DISTRIBUTION SYSTEM. THESIS ADVISOR : CHAIYA CHAMCHOY 124 pp. ISBN 974-639-636-6

This thesis is divided into two parts. In the first part , the method to solve a problem of optimal shunt capacitor placement on the radial distribution system is presented by considering the upper and lower bound constraints of voltage and reducing real power loss at each load levels to minimize the investment cost of capacitors and system energy loss cost. The solution methodology is based on sensitivity analysis to select the candidate installation locations of shunt capacitors from the sensitivity factor to reduce the search space and computation time.

In the second part , the effects of harmonics due to the presence of nonlinear loads in distribution system is studied. Excessive harmonic currents can flow through capacitors which may result in capacitor damages. The effects of harmonics to capacitors can be evaluated by comparing the calculation results to the limit values given by ANSI/IEEE 18-1992 and IEC 60871-1 (1997-10) standards.

Furthermore, the developed software can evaluate total harmonic voltage distortions (THD_v) at various busses and also total harmonic current distortions (THD_i) of capacitors. This leads to an assessment of harmonic performance in distribution system for planning and power quality improvement.

สถาบันวิทยบริการ จุฬาลงกรณ์มหาวิทยาลัย

ภาควิชา..... วิศวกรรมไฟฟ้า
สาขาวิชา..... วิศวกรรมไฟฟ้า
ปีการศึกษา..... พ.ศ. 2541

นายมือชื่อนิสิต..... dr. Chaiya Chamchoy
นายมือชื่ออาจารย์ที่ปรึกษา.....
นายมือชื่ออาจารย์ที่ปรึกษาร่วม.....



กิตติกรรมประกาศ

วิทยานิพนธ์ฉบับนี้ ได้สำเร็จถ้วนทั่วไปได้ด้วยความกรุณาและความช่วยเหลืออย่างดีเยี่ยม
ของ อาจารย์ไชยะ แซ่นซ้อบ ซึ่งเป็นอาจารย์ที่ปรึกษา โดยได้ให้คำแนะนำและข้อคิดเห็นดีๆ
ของการทำวิทยานิพนธ์มาด้วยคิดตลอด รวมทั้งได้กรุณาตรวจสอบและแก้ไขจนสำเร็จเรียบร้อย

นอกจากนี้ ผู้ช่วยต้องขอบพระคุณคณะกรรมการสอบวิทยานิพนธ์ ซึ่งประกอบด้วย
ผู้ช่วยศาสตราจารย์ ประถิทช์ พิกษพัฒน์ และผู้ช่วยศาสตราจารย์ คร. บัญฑิต เอื้ออากรย์ ที่ได้
กรุณาตรวจสอบแก้ไขและให้คำแนะนำในการทำวิทยานิพนธ์จนสำเร็จถ้วนด้วยดี

อนึ่ง เนื่องจากทุนการศึกษาในระดับปริญญามหาบัณฑิตทั้งหมดนี้ ได้รับการสนับสนุน
จากศูนย์เชี่ยวชาญพิเศษเฉพาะด้านเทคโนโลยีไฟฟ้ากำลัง คณะวิศวกรรมศาสตร์ มหาลัยกรุง
มหาวิทยาลัย จึงขอขอบพระคุณมา ณ ที่นี้ด้วย ที่ได้เลี้ยงเห็นความสำเร็จด้วยการศึกษาระดับสูงของ
นิสิตนักศึกษา ซึ่งจะเป็นการวางรากฐานที่สำคัญอันจะนำไปสู่การพัฒนาของประเทศไทย อย่างแท้จริง

ท้ายนี้ ผู้ช่วยครุ่งขอกราบขอบพระคุณบิรา - นารดาที่ได้ให้กำลังใจเสมอมา และทุกๆ
ท่านที่อยู่เบื้องหลังความสำเร็จของวิทยานิพนธ์ฉบับนี้

วิชชาร ก. เชงศรีชรัส
กันยายน 2541

สถาบันวิทยบริการ
จุฬาลงกรณ์มหาวิทยาลัย

สารบัญ

หน้า

| | |
|-------------------------|---|
| บทคัดย่อภาษาไทย..... | ๙ |
| บทคัดย่อภาษาอังกฤษ..... | ๑ |
| กิจกรรมประการ..... | ๒ |
| สารบัญตาราง..... | ๔ |
| สารบัญภาพ..... | ๖ |

บทที่

| | |
|---|----|
| 1. บทนำ..... | ๑ |
| 1.1 ประวัติความเป็นมาและแนวเหตุผล..... | ๑ |
| 1.2 วัตถุประสงค์ของวิทยานิพนธ์..... | ๔ |
| 1.3 ขอบเขตของวิทยานิพนธ์..... | ๔ |
| 1.4 ขั้นตอนและวิธีการดำเนินงาน..... | ๕ |
| 1.5 ประโยชน์ที่คาดว่าจะได้รับ..... | ๕ |
| 1.6 เมื่อห้องวิทยานิพนธ์..... | ๕ |
| 2. หลักพื้นฐานเกี่ยวกับตัวเก็บประชุมและการประยุกต์ใช้งานในระบบสำหรับ..... | ๖ |
| 2.1 ตัวเก็บประชุมกำลัง..... | ๖ |
| 2.2 ผลกระทบจากการต่อตัวเก็บประชุมเข้ากับสายป้อน..... | ๗ |
| 2.3 การต่อตัวเก็บประชุมแบบอนุกรม..... | ๗ |
| 2.3.1 การซัดเซย์เกิน..... | ๙ |
| 2.3.2 ตัวประกอบกำลังนำหน้า..... | ๑๐ |
| 2.4 การต่อตัวเก็บประชุมแบบขนาน..... | ๑๑ |
| 2.5 ประเภทของการติดตั้งตัวเก็บประชุม..... | ๑๓ |
| 2.6 ตัวประกอบกำลัง..... | ๑๔ |
| 2.6.1 ผลกระทบที่เกิดจากตัวประกอบกำลังต่ำ..... | ๑๕ |
| 2.6.2 การปรับปรุงตัวประกอบกำลัง..... | ๑๖ |
| 2.6.3 อุปกรณ์ที่ใช้ปรับปรุงตัวประกอบกำลัง..... | ๑๖ |
| 2.6.4 ประโยชน์ที่ได้รับจากการปรับปรุงตัวประกอบกำลัง..... | ๑๘ |

| | |
|---|-----|
| 4.3 การคำนวณค่ากระแสสาร์มอนิกแก่กระแสที่ให้ผ่านตัวเก็บประจุ..... | 52 |
| 4.4 ผลกระบวนการของสาร์มอนิกที่มีต่อตัวเก็บประจุ..... | 54 |
| 4.4.1 การคำนวณปริมาณทางสาร์มอนิกตามมาตรฐาน..... | 55 |
| 4.4.2 ขั้นตอนการคำนวณหาปริมาณทางสาร์มอนิก..... | 55 |
| 4.5 ปรากฏการณ์เรโซแนนซ์..... | 56 |
| 5. ตัวอย่าง ผลการคำนวณ และการวิเคราะห์โดยใช้ระบบจำลอง..... | 58 |
| 5.1 โครงสร้างการทำงานของไปร์แกรนคอมพิวเตอร์..... | 58 |
| 5.2 การป้อนข้อมูลเข้าสู่ระบบจำลอง..... | 60 |
| 5.2.1 การสร้างระบบจำลองด้วยแพนกพาพเต้นเดี่ยว..... | 60 |
| 5.2.2 การป้อนข้อมูลสำหรับการวิเคราะห์ขนาดและ ตำแหน่งติดตั้งของตัวเก็บประจุ..... | 63 |
| 5.2.3 การป้อนข้อมูลสำหรับการวิเคราะห์ผลกระทบของ สาร์มอนิกที่มีต่อตัวเก็บประจุ..... | 65 |
| 5.3 ส่วนการแสดงผลของไปร์แกรน..... | 66 |
| 5.3.1 ผลการคำนวณไฟล์..... | 66 |
| 5.3.2 ผลการติดตั้งตัวเก็บประจุด้วยขนาด..... | 68 |
| 5.3.3 ส่วนแสดงการวิเคราะห์ผลกระทบของสาร์มอนิก..... | 68 |
| 5.4 ระบบตัวอย่างที่ใช้ในการทดสอบ..... | 70 |
| 5.4.1 ระบบทดสอบขนาด 19 บัส..... | 71 |
| 5.4.2 ระบบทดสอบขนาด 33 บัส..... | 82 |
| 5.4.3 การวิเคราะห์ผลกระทบของสาร์มอนิก..... | 90 |
| 5.4.4 การวิเคราะห์ผลกระทบเรโซแนนซ์..... | 98 |
| 5.5 สรุป..... | 99 |
| 6. สรุปและข้อเสนอแนะ..... | 100 |
| รายการอ้างอิง..... | 102 |
| ภาคผนวก | |
| ก. ค่าแรงดันที่บัสของระบบจำลอง 19 บัส..... | 104 |
| ข. ค่าแรงดันที่บัสของระบบจำลอง 33 บัส..... | 110 |
| ประวัติผู้เขียน | 124 |

สารบัญตาราง

หน้า

ตารางที่

| | |
|--|----|
| 3-1 ผลการติดตั้งตัวเก็บประจุแบบถาวรของระบบ荷重 50%..... | 29 |
| 3-2 ผลการติดตั้งตัวเก็บประจุแบบถันเข้า-ปลดออกของระดับ荷重 80%..... | 30 |
| 3-3 ผลการติดตั้งตัวเก็บประจุแบบถันเข้า-ปลดออกของระดับ荷重 100%..... | 31 |
| 4-1 พิกัดของตัวเก็บประจุที่กำหนดโดยมาตรฐาน ANSI/IEEE 18-1992..... | 54 |
| 4-2 พิกัดของตัวเก็บประจุที่กำหนดโดยมาตรฐาน IEC 60871-1(1997-10)..... | 54 |
| 5-1 รูปภาพและความหมายของอุปกรณ์ต่างๆ..... | 60 |
| 5-2 ค่าอินพีเดนซ์ของสายปืนและข้อมูล荷重ของระบบ 19 บัส..... | 71 |
| 5-3 การกระจายของ荷重ของระบบ 19 บัส กรณี (ก)..... | 73 |
| 5-4 ราคางานทุนต่อปีของตัวเก็บประจุของระบบ 19 บัส กรณี (ก)..... | 73 |
| 5-5 ผลการติดตั้งตัวเก็บประจุต่อขนาดของระบบ 19 บัส กรณี (ก)..... | 73 |
| 5-6 ผลการเปรียบเทียบค่าแรงคันและกำลังสูญเสียของระบบ 19 บัส กรณี (ก)..... | 74 |
| 5-7 ราคางานทุนต่อปีของตัวเก็บประจุของระบบ 19 บัส กรณี (ข)..... | 78 |
| 5-8 ผลการติดตั้งตัวเก็บประจุต่อขนาดของระบบ 19 บัส กรณี (ข)..... | 78 |
| 5-9 ผลการเปรียบเทียบค่าแรงคันและกำลังสูญเสียของระบบ 19 บัส กรณี (ข)..... | 78 |
| 5-10 ค่าอินพีเดนซ์ของสายปืนและข้อมูล荷重ของระบบ 33 บัส..... | 83 |
| 5-11 การกระจายของ荷重ของระบบ 33 บัส กรณี (ก)..... | 84 |
| 5-12 ผลการติดตั้งตัวเก็บประจุต่อขนาดของระบบ 33 บัส กรณี (ก)..... | 84 |
| 5-13 ผลการเปรียบเทียบค่าแรงคันและกำลังสูญเสียของระบบ 33 บัส กรณี (ก)..... | 85 |
| 5-14 การกระจายของ荷重ของระบบ 33 บัส กรณี (ข)..... | 85 |
| 5-15 ผลการติดตั้งตัวเก็บประจุต่อขนาดของระบบ 33 บัส กรณี (ข)..... | 86 |
| 5-16 ผลการเปรียบเทียบค่าแรงคันและกำลังสูญเสียของระบบ 33 บัส กรณี (ข)..... | 86 |
| 5-17 กระแสชาร์มอนิกที่แต่ละความถี่ของ荷重ไม่เป็นเชิงเส้น..... | 90 |
| 5-18 ระดับความผิดเพี้ยนทางชาร์มอนิกรวมของแรงคันที่ระดับ荷重 100%..... | 93 |
| 5-19 ตำแหน่งและค่าเบอร์เข็มต์ของ荷重ไม่เป็นเชิงเส้น..... | 96 |
| 5-20 ผลการเปรียบเทียบค่าพิกัดของตัวเก็บประจุกับค่ามาตรฐาน ที่ระดับ荷重 70%..... | 97 |

สารบัญภาค

หน้า

รูปที่

| | | |
|-----|--|----|
| 2-1 | ภาพตัดของตัวเก็บประจุกำลังที่ใช้ปรับค่าตัวประกอบกำลัง..... | 7 |
| 2-2 | เฟสเซอร์ไฟอะแกรนแรงดันของวงจรสายป้อนที่มีตัวประกอบกำลังถ้าหลัง..... | 8 |
| 2-3 | เฟสเซอร์ไฟอะแกรนของแรงดันที่จุดปิดภายในภาระการชดเชยเกิน..... | 10 |
| 2-4 | เฟสเซอร์ไฟอะแกรนของแรงดันในภาวะโหลดนิ่วตัวประกอบกำลังนำหน้า..... | 11 |
| 2-5 | เฟสเซอร์ไฟอะแกรนแรงดันของวงจรสายป้อนที่มีตัวประกอบกำลังถ้าหลัง..... | 12 |
| 2-6 | ผังของแรงดันจากการตัดตัวเก็บประจุแบบคงที่..... | 14 |
| 2-7 | สามเหลี่ยมกำลัง..... | 14 |
| 2-8 | สามเหลี่ยมกำลังที่มีตัวประกอบกำลัง 2 ค่า..... | 15 |
| 2-9 | การปรับปุ่มตัวประกอบกำลังด้วยตัวเก็บประจุต่องาน..... | 17 |
| 3-1 | แบบจำลองของระบบจ้าหน่ายแบบเรเดียล..... | 23 |
| 3-2 | ผังกรีชันรายการลงทุนของตัวเก็บประจุ..... | 23 |
| 3-3 | กราฟการกระจายของโหลด..... | 24 |
| 3-4 | วงจรสมมุติของสายสั่งระดับต้นหรือสายป้อนของระบบจ้าหน่าย..... | 24 |
| 3-5 | ตัวอย่างระบบจ้าหน่ายแบบเรเดียลขนาด 10 บัส..... | 29 |
| 3-6 | วงจรพื้นฐานของระบบจ้าหน่ายแบบเรเดียล..... | 33 |
| 3-7 | การจัดลำดับระหว่างโโนนดกับกิ่งของระบบจ้าหน่ายแบบเรเดียล..... | 39 |
| 3-8 | ขั้นตอนการคำนวณโหลดไฟฟ้าของระบบจ้าหน่ายแบบเรเดียล ตัววิธีนิวตัน-ราฟสัน..... | 44 |
| 3-9 | ขั้นตอนการคำนวณหาขนาดและตำแหน่งติดตั้งที่เหมาะสมของ ตัวเก็บประจุต่องาน..... | 45 |
| 4-1 | แบบจำลองของโหลดตามแบบ CIGRE และแบบ R/L..... | 47 |
| 4-2 | วงจรสมมุติของสายป้อนโดยคิดผลของชาร์มนิวติก..... | 49 |
| 4-3 | ตัวอย่างระบบจ้าหน่ายในการวิเคราะห์ที่ความถี่มีสัญญาณ..... | 49 |
| 4-4 | วงจรสมมุติของระบบตัวอย่างในการวิเคราะห์ที่ความถี่ชาร์มนิวติก..... | 50 |
| 4-5 | ระบบตัวอย่างในการวิเคราะห์การไฟฟ้าของกระแสไฟฟ้าผ่านตัวเก็บประจุ..... | 52 |
| 4-6 | วงจรสมมุติของระบบตัวอย่างที่ใช้วิเคราะห์การไฟฟ้าของกระแสไฟฟ้า..... | 53 |

| | |
|--|-----------|
| 4-7 ขั้นตอนการคำนวณหาปริมาณทางชาร์มอนิกที่กำหนดตามมาตรฐาน..... | 57 |
| 5-1 โครงสร้างการทำงานของโปรแกรมคอมพิวเตอร์..... | 59 |
| 5-2 หน้าจอการสร้างแผนภาพเส้นเดี่ยว..... | 61 |
| 5-3 หน้าจอการรับค่าพารามิเตอร์สายของระบบจักรกล..... | 61 |
| 5-4 หน้าจอการรับค่า荷重ของระบบจักรกล..... | 62 |
| 5-5 หน้าจอการรับข้อมูลของสถานีไฟฟ้าย่อย..... | 62 |
| 5-6 หน้าจอการรับค่าการกระชาญของโหลด..... | 63 |
| 5-7 หน้าจอการรับค่าเงินคงทุนต่อปีของตัวเก็บประจุและราคาพัฒนาสูญเสีย..... | 64 |
| 5-8 หน้าจอการรับค่าขอบเขตของแรงดัน..... | 65 |
| 5-9 หน้าจอการรับข้อมูลการวิเคราะห์ผลกระบวนการของชาร์มอนิก..... | 66 |
| 5-10 หน้าจอแสดงผลของขนาดแรงดันและบุ่มที่บัสต่างๆ | 67 |
| 5-11 หน้าจอแสดงผลการให้บทลงก้าวสั้นในสายป้อนแต่ละส่วน..... | 67 |
| 5-12 หน้าจอแสดงผลการเปรียบเทียบค่าแรงดันที่บัสต่างๆ | 68 |
| 5-13 หน้าจอแสดงผลการติดตั้งตัวเก็บประจุต่อนาน..... | 69 |
| 5-14 หน้าจอแสดงผลการวิเคราะห์ผลกระบวนการของชาร์มอนิก..... | 69 |
| 5-15 แผนภาพวงจรเส้นเดี่ยวของระบบทดสอบขนาด 19 บัส..... | 71 |
| 5-16 ค่าใช้จ่ายรวมจากการติดตั้งตัวเก็บประจุที่ระดับโหลด 40% ของระบบ 19 บัส กรัม (ก)..... | 74 |
| 5-17 ค่าใช้จ่ายรวมจากการติดตั้งตัวเก็บประจุที่ระดับโหลด 70% ของระบบ 19 บัส กรัม (ก)..... | 75 |
| 5-18 ค่าใช้จ่ายรวมจากการติดตั้งตัวเก็บประจุที่ระดับโหลด 90% ของระบบ 19 บัส กรัม (ก)..... | 76 |
| 5-19 ค่าใช้จ่ายรวมจากการติดตั้งตัวเก็บประจุที่ระดับโหลด 100% ของระบบ 19 บัส กรัม (ก)..... | 77 |
| 5-20 ค่าใช้จ่ายรวมจากการติดตั้งตัวเก็บประจุที่ระดับโหลด 70% ของระบบ 19 บัส กรัม (ก)..... | 79 |
| 5-21 ค่าใช้จ่ายรวมจากการติดตั้งตัวเก็บประจุที่ระดับโหลด 90% ของระบบ 19 บัส กรัม (ก)..... | 81 |
| 5-22 ค่าใช้จ่ายรวมจากการติดตั้งตัวเก็บประจุที่ระดับโหลด 100% ของระบบ 19 บัส กรัม (ก)..... | 81 |

| | | |
|------|--|----|
| 5-23 | แผนภาพวงจรเต้นเคิ่บของระบบทดสอบขนาด 33 บัส..... | 82 |
| 5-24 | ค่าใช้จ่ายรวมจากการติดตั้งตัวเก็บประจุที่ระดับໂທດ 40% ของระบบ 33 บัส กรณี (ข)..... | 87 |
| 5-25 | ค่าใช้จ่ายรวมจากการติดตั้งตัวเก็บประจุที่ระดับໂທດ 60% ของระบบ 33 บัส กรณี (ข)..... | 88 |
| 5-26 | ค่าใช้จ่ายรวมจากการติดตั้งตัวเก็บประจุที่ระดับໂທດ 80% ของระบบ 33 บัส กรณี (ข)..... | 89 |
| 5-27 | ค่าใช้จ่ายรวมจากการติดตั้งตัวเก็บประจุที่ระดับໂທດ 100% ของระบบ 33 บัส กรณี (ข)..... | 89 |
| 5-28 | ค่ากระแสสาร์มอนิกรวนที่ไฟล์ผ่านตัวเก็บประจุที่ระดับໂທດ 70%..... | 91 |
| 5-29 | ค่ากระแสสาร์มอนิกรวนที่ไฟล์ผ่านตัวเก็บประจุที่ระดับໂທດ 90%..... | 91 |
| 5-30 | ค่ากระแสสาร์มอนิกรวนที่ไฟล์ผ่านตัวเก็บประจุที่ระดับໂທດ 100%..... | 92 |
| 5-31 | ค่ากระแสสาร์มอนิกรวนที่ไฟล์ผ่านตัวเก็บประจุหลังการปรับໂທດ ที่ระดับໂທດ 70%..... | 94 |
| 5-32 | ค่ากระแสสาร์มอนิกรวนที่ไฟล์ผ่านตัวเก็บประจุหลังการปรับໂທດ ที่ระดับໂທດ 90%..... | 95 |
| 5-33 | ค่ากระแสสาร์มอนิกรวนที่ไฟล์ผ่านตัวเก็บประจุหลังการปรับໂທດ ที่ระดับໂທດ 100%..... | 95 |
| 5-34 | ความถี่เรโซแนนซ์ของตัวเก็บประจุขนาด 1800 kVAr ของระบบ 19 บัส..... | 98 |

สถาบันวิทยบริการ จุฬาลงกรณ์มหาวิทยาลัย